

01; 04

© 1990 г.

СИЛЬНОТОЧНЫЙ ДУГОВОЙ РАЗРЯД В ПОЛОМ КАТОДЕ С ВОДОРОДНОЙ ПЛАЗМОЙ

Ф. Г. Бакит, А. Б. Рыбаков

Теоретически рассматривается дуговой разряд в полом катоде (ПК) с водородной плазмой (без прокатки рабочего тела). Неравновесные приэлектродные области и равновесная плазма рассматриваются отдельно. Приведены результаты расчета неравновесного слоя ионизации. Рассчитаны вольт-амперные характеристики ПК и распределения параметров плазмы вдоль оси.

1. Дуговой разряд в водороде с полым катодом (ПК) из тугоплавкого металла впервые был описан в 1958 г. [1, 2]. В последние годы интерес к таким разрядам растет в связи с разработкой источников ионов для ионизаторов быстрых частиц в экспериментах по УТС [3].

Настоящая работа посвящена теоретическому описанию сильноточной дуги в ПК с плотной водородной плазмой. Характерные значения параметров разряда следующие: давление внутри катодной полости $p \leq 10$ Тор, напряжение, приложенное к полости, U порядка десятков вольт, диаметр ПК несколько миллиметров. При оши-

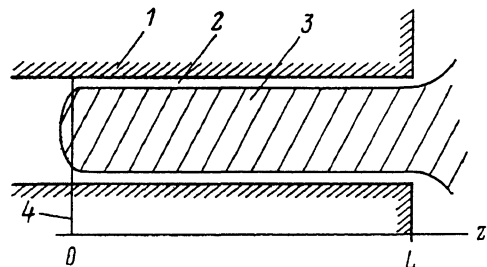


Рис. 1. Полый катод.

1 — стена катода, 2 — неравновесные приэлектродные слои, 3 — равновесная плазма, 4 — граница рабочей области.

сании плазмы в полости используется методика, предложенная в [4]. Результаты расчетов по этой методике дуги в ПК с цезиевой плазмой хорошо согласуются с экспериментальными данными [5].

Будем рассматривать ПК простой геометрии, представляющей собой узкую цилиндрическую полость, открытую со стороны разрядного объема (рис. 1). Примыкающую к выходу часть полости, где электронная температура достаточно велика ($T_e > 1$ эВ) и соответственно высока степень ионизации плазмы, будем называть рабочей областью ПК. Ее длина L зависит от напряжения, приложенного к полости.

Рабочая область ПК разбивается на две части, которые анализируются отдельно: неравновесные приэлектродные слои, толщина которых в плотной плазме мала, и столб квазиравновесной плазмы, занимающий большую часть объема.

2. Структура ионизационно-неравновесного приэлектродного слоя в плазме атомарных газов проанализирована в ряде работ (см. например, обзор [6]).

В плазме молекулярного газа структура приэлектродного слоя усложняется из-за процессов рекомбинации атомарных частиц в молекулы на поверхности электрода [7, 8]. Коэффициент поверхностной рекомбинации γ меняется в широких пределах в зависимости от температуры, материала и чистоты поверх-

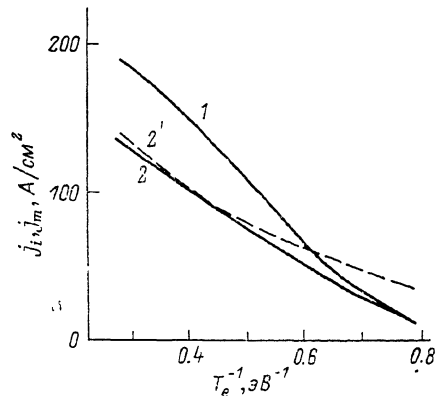
ности электрода (обычно γ падает при увеличении температуры) (см., например, [9]). В области вблизи электрода (в слое диссоциации десорбирующихся с электрода молекул) процессы диссоциации преобладают над рекомбинацией и концентрация молекул больше равновесной. Заметим, что в интересующих нас условиях (в рабочей области ПК) молекулы водорода в равновесной плазме практически отсутствуют, а размеры слоев ионизации L_i и диссоциации L_d заметно превышают толщину слоя пространственного заряда L_x .

Постановка задачи о расчете структуры плоского приэлектродного слоя ионизации — диссоциации подробно описана в [7, 8], там же приведены результаты расчетов в узком интервале значений T_e вблизи 1 эВ. В настоящей работе были проведены расчеты приэлектродного слоя в широком диапазоне значений электронной температуры. Результаты расчетов для давления $p=10$ Тор и температуры стенки катода (и тяжелой компоненты) $T_k=0.2$ эВ представлены на рис. 2. Расчеты проводились для двух предельных случаев: $\gamma=0$ (т. е. молекулы на стенке не образуются) и $\gamma=1$ (т. е. все атомные частицы, упавшие на катод, покидают его в виде молекул). Поток молекул, образовавшихся на катоде, в плазму i_m представлен на рис. 2 в токовых единицах (т. е. $j_m=q i_m$).

Видно, что в области низких электронных температур ($T_e \approx 1.2$ эВ) ионный

Рис. 2. Результаты расчета плоского приэлектродного слоя в водородной плазме для коэффициента поверхностной рекомбинации $\gamma=0$ (1) и 1 (2).

1, 2 — ток ионов, $2' — поток молекул в токовых единицах; p=10$ Тор, $T=T_k=0.2$ эВ.



ток j_i почти не зависит от наличия молекул, нооборот, в области высоких T_e величина ионного тока существенно зависит от значения параметра γ . Для объяснения этого заметим, что на нижней границе рассматриваемого температурного интервала L_i заметно больше L_d , т. е. при переходе от $\gamma=0$ к $\gamma=1$ изменяется ход концентрации атомов (и ионов) лишь в малой части слоя ионизации. При больших T_e , наоборот, L_i заметно меньше L_d , поэтому переход от $\gamma=0$ к $\gamma=1$ полностью меняет ход концентрации нейтральной компоненты в слое ионизации и существенно сказывается на величине ионного тока.

Использованная методика расчета предполагает наличие большого числа столкновений между всеми компонентами плазмы в слое ионизации — диссоциации, что соответствует замеченному перепаду концентрации заряженных частиц в этом слое. Это условие ограничивает применимость результатов расчета областью $T_e \leq 3$ эВ. Отметим, что при больших T_e характер зависимости $j_i(T_e)$ изменится: когда длина ионизации станет меньше длины свободного пробега ионов, для ионного тока будем иметь $j_i \sim q n'_e \sqrt{k T_e / M}$ (n'_e — концентрация заряженных частиц в равновесной плазме на границе со слоем ионизации) и j_i будет падать при увеличении T_e .

В расчетах использовалась константа скорости диссоциации молекул H_2 , полученная в [10]. Учет процессов диссоциативного прилипания, проведенный в [11], приводит к большим значениям K_d (особенно в области $T_e \leq 1$ эВ). Но следует иметь в виду, что при расчете скорости ступенчатой диссоциации в [11] не учитывалось наличие атомов, что заметно завышает значение K_d применительно к условиям приэлектродного слоя в ПК.

3. Так как для получения больших токов наиболее интересны режимы, в которых ток снимается с большей внутренней поверхности полости, то ограничимся случаем, когда длина рабочей области L значительно превышает R (т. е. к полости приложено достаточно большое напряжение). Так как вне приэлектродных слоев $(\partial\phi/\partial r)/(\partial\phi/\partial z) \sim R/L \ll 1$, то радиальное изменение потенциала в равновесной плазме относительно мало. Поэтому в дальнейшем мы будем считать, что ϕ зависит лишь от осевой координаты z , т. е. все радиальное изменение

потенциала сосредоточено в приэлектродном слое пространственного заряда и отчасти в слое ионизации. На основании оценок энергетического баланса электронов можно заключить, что и электронная температура T_e мало меняется по радиусу, поэтому в дальнейшем полагается, что $T_e(r)=\text{const}$.

В противоположность этому температура тяжелой компоненты T меняется по радиусу от значений, близких к T_e (несколько электрон-вольт), до температуры поверхности катода T_k (порядка десятых долей эВ). Оставляя в балансе энергии тяжелой компоненты лишь производные $\partial T / \partial r$, получаем

$$-\frac{1}{r} \frac{\partial}{\partial r} \left[r \chi(T) \frac{\partial T}{\partial r} \right] = Q_{ei} + Q_{ea} = Q_e \quad (1)$$

с граничными условиями

$$\frac{\partial T}{\partial r} \Big|_{r=0} = 0; \quad T(R) = T_k. \quad (2), (3)$$

Здесь Q_e — суммарная энергия, передаваемая электронами в единице объема ионам (Q_{ei}) и атомам (Q_{ea}),

$$Q_{ei} = \frac{3m}{M} \frac{n_e}{\tau_{ei}} k (T_e - T),$$

где $\tau_{ei} = 3\sqrt{m} (kT_e)^{3/2} / 4\sqrt{2\pi} \Lambda q^4 n_e$ — время релаксации электронов на ионах [12, 13],

$$Q_{ea} = \frac{m}{M} N_a n_e \frac{T_e - T}{T_e} \langle m_e^2 S_{ea}(\nu) \rangle,$$

где S_{ea} — транспортное сечение рассеяния электропов на атомах Н [14]. $\langle \dots \rangle$ означает усреднение по максвелловскому распределению.

Теплопроводность тяжелой компоненты плазмы определялась следующим образом [15]:

$$\chi = \chi_i \left(1 + \frac{\chi_i}{\chi_{ia}} \right)^{-1} + \chi_a \left(1 + \frac{\chi_a}{\chi_{ai}} \right)^{-1},$$

где χ_i — теплопроводность ионов в полностью ионизованной плазме [12], χ_a — теплопроводность нейтрального атомарного водорода, χ_{ia} и χ_{ai} — теплопроводности ионов в атомах и атомов в ионах соответственно, χ_a определялось из измеренных значений вязкости η [16] по соотношению $\chi = 5/2 \eta c_v$, где $c_v = 3k/2M$ [17].

При решении уравнения (1) концентрации компонент плазмы N_a и $n_e = n_i$ определялись из баланса давлений и условия ионизационного равновесия

$$N_a kT + n_e kT + n_e kT_e = p, \\ N_a n_e S_i = n_e n_i d_r, \quad (4)$$

где коэффициенты ионизации S_i и рекомбинации α_r зависят от n_e , T_e и оптической толщины плазмы, S_i и α_r рассчитывались в [18] для предельных случаев оптически прозрачной и полностью непрозрачной плазмы.

Мы пользовались результатами работы [19], где S_i и α_r рассчитывались как функция оптической толщины в центре резонансной линии. Коэффициент поглощения в центре линии определялся по полному коэффициенту поглощения $k = (\lambda^2/4)(g_i/g_k)A_{ik}N_k$ (A_{ik} — коэффициенты Эйпштейна, N_k — концентрация атомов на нижнем уровне) и рассчитанному контуру линии [20]. Оптическая толщина плазмы в точке r полагалась равной $k(0)(R-r)$.

Таким образом, в результате расчета определялись распределения по сечению полости $n_e(r)$, $T(r)$ и $Q_e(r)$ при фиксированных значениях T_e . Эти распределения усреднялись по сечению и средние значения $\bar{n}_e(T_e)$, $\bar{T}(T_e)$ и $\bar{Q}_e(T_e)$ подставлялись в одномерные уравнения (4)–(7) (см. ниже), описывающие электронную компоненту плазмы в ПК.

Некоторые результаты расчета теплового баланса тяжелой компоненты представлены на рис. 3. Рис. 3, б показывает, что в большей части сечения ПК T примерно постоянна, а резкое изменение имеет место лишь в области вблизи стенок. Изложенный выше подход корректен, если размер этой области L_T (слой

температурной релаксации) большие L_i , что имеет место в большей части рабочей области ПК.

В дальнейшем знаки усреднения над n_e , T , Q_e опускаются.

4. Электронная компонента частично понизованной водородной плазмы в рабочей области ПК описывалась следующими уравнениями. Закон Ома

$$j_z = \sigma \frac{d\varphi}{dz} - q D_e \frac{dn_e}{dz} - u_e n_e (1 + k_e) \frac{dkT_e}{dz}, \quad (5)$$

где j_z — плотность осевого тока; σ — проводимость плазмы; D_e , u_e , k_e — коэффициент диффузии, подвижность и термодиффузионное отношение электронов.

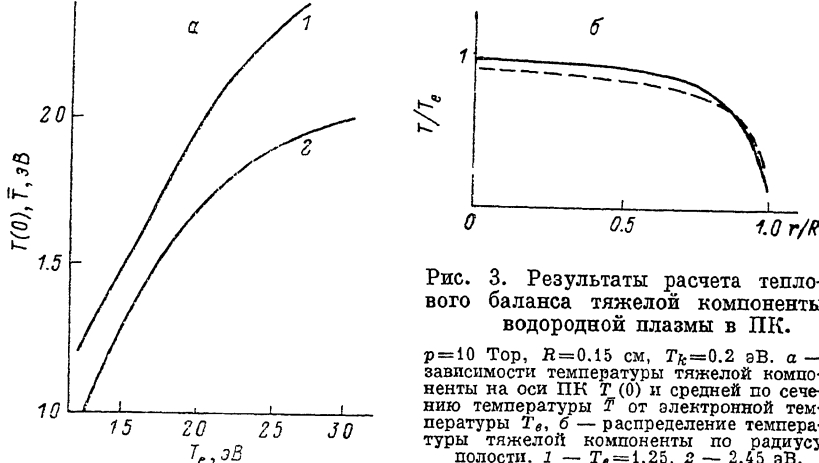


Рис. 3. Результаты расчета теплового баланса тяжелой компоненты водородной плазмы в ПК.

$p=10$ Тор, $R=0.15$ см, $T_k=0.2$ эВ. а — зависимости температуры тяжелой компоненты на оси ПК $T(0)$ и средней по сечению температуры \bar{T} от электронной температуры T_e , б — распределение температуры тяжелой компоненты по радиусу полости. 1 — $T_e=1.25$, 2 — 2.45 эВ.

За положительное направление тока принимается направление движения электронов. Потенциал φ отсчитывается от стенки катода.

Уравнение неразрывности тока

$$\frac{dj_z}{dz} = \frac{2}{R} j_r = \frac{2}{R} (j_s - j_{ek} + j_i), \quad (5a)$$

где j_s — плотность тока эмиссии, $j_{ek}=1/4 q n_e \bar{v}_e \exp(-(q\varphi/kT_e))$ — ток электронов из плазмы на катод, j_i — ионный ток из плазмы на катод, j_r — радиальный ток с катода в плазму.

Баланс энергии электронов

$$\frac{dq_e}{dz} = \frac{2\pi R}{q} \{2kT_k j_s - 2kT_e j_{ek} - j_i (E_i + q\varphi) - j_m E_d\} - \pi R^2 Q_e, \quad (6)$$

$$q_e = \frac{\pi R^2}{q} j_s \left[\left(k_e + \frac{5}{2} \right) kT_e - q\varphi \right], \quad (7)$$

q_e — поток энергии электронов, E_i — энергия ионизации атома Н, E_d — энергия диссоциации молекулы Н₂. В правой части (6) учтены потоки энергии, связанные с различными слагаемыми радиального тока, потери энергии на ионизацию атомов и диссоциацию молекул и отдача тепла тяжелой компоненте. В потоке энергии q_e опущен малый член, обусловленный теплопроводностью.

Граница рабочей области в глубине полости выделяется заданием граничного значения электронной температуры $T_e^{(0)}$. Это значение нужно задавать так, чтобы выполнялось условие $L_i(T_e^{(0)}) < R$ (при численных расчетах $T_e^{(0)}$ обычно выбиралось так, чтобы $L_i(T_e^{(0)}) \approx 0.3R$). Так как L_i резко падает с ростом электронной температуры, то при выполнении указанного условия на границе для большей части рабочей области будем иметь $L_i \ll R$, что позволяет пользоваться результатами расчетов плоского приэлектродного слоя. В дальнейшем осевая координата z отсчитывается от границы рабочей области по направлению к выходу из полости. В качестве двух других граничных условий используются задания значений потенциала $\varphi(0)$ и плотности осевого тока $j_z(0)$ на границе.

Эти условия приближенно описывают наличие в области $z < 0$ относительно слабоионизованной плазмы, поставляющей в рабочую область ток $I_0 = \pi R^2 j_s(0)$ (о выборе $\phi(0)$ и $j_s(0)$ см. в Приложении).

При такой постановке граничных условий выход из катодной полости ничем не выделен, т. е. мы пренебрегаем влиянием плазмы межэлектродного промежутка на плазму внутри полости. Это позволяет построить универсальные зависимости $j_s(z)$, $\phi(z)$, $T_e(z)$ и др., которые содержат распределения параметров плазмы для любых приложенных к полости напряжений U . Чтобы получить распределения параметров для конкретного значения U , надо (как и в § 4) оборвать эти зависимости в точке, где $\phi(z) = U$.

Применимость системы уравнений (4)–(7) при больших токах ограничена эффектами, связанными с собственным магнитным полем тока. При больших z

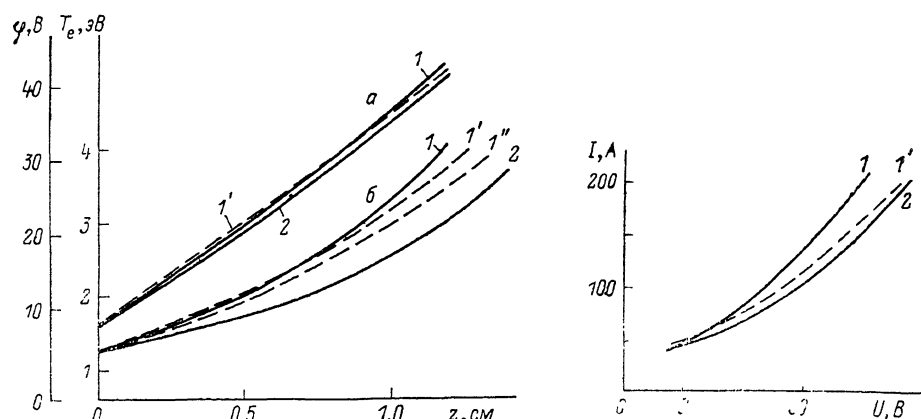


Рис. 4. Распределение потенциала плазмы (а) и электронной температуры (б) вдоль оси ПК.

а: 1, 1' – $j_S = 30 \text{ A/cm}^2$ ($1 - \gamma = 0$; $1' - 1$); 6: $1' - E_d = 4.48$, $1'' - 8.8 \text{ эВ}$, 2 – $j_S = 10 \text{ A/cm}^2$, $\gamma = 0$.

Рис. 5. Вольт-амперные характеристики ПК.

1, 1' – $j_S = 50 \text{ A/cm}^2$, ($1 - \gamma = 0$, $1' - 1$), 2 – $j_S = 10 \text{ A/cm}^2$, $\gamma = 0$.

решение обрывалось в точке, где нарушалось хотя бы одно из условий: 1) магнитное давление $p_m = B^2/8\pi \leq p$, 2) $\omega_e \tau_e < 1$. При выбранных параметрах расчета эти условия позволяют построить решения вплоть до значений потенциала $\phi \approx 40$ В. Отметим, что при таких больших падениях потенциала в приэлектродном слое вблизи выхода ПК электроны эмиссии уже не успевают максвеллизоваться на расстояниях $\sim R$. При этом они отдают энергию тепловым электронам не в том сечении z' , где они эмиттированы, а в области $z \geq z'$. Однако это обстоятельство в расчетах не принималось во внимание, так как в этой области ПК ток эмиссии составляет малую часть радиального тока и энергия, вносимая в плазму электронами эмиссии, $j_{se}\phi$ мала по сравнению с джоулевым тепловыделением в плазме ПК.

Характерные значения токов эмиссии в дуговом ПК лежат в диапазоне от долей до 20–30 A/cm^2 (верхняя граница соответствует, например, эмиссии W при $T_k = 2700$ – 2800 К или эмиссии LaB_6 при $T_k = 2000$ К). Сопоставление указанных значений с величиной ионных токов (рис. 2) приводит к выводу, что в токопереносе через границу плазма–катод в ПК преобладает ионный ток. Расчеты показали, что обратный электронный ток j_{ek} вносит заметный вклад в радиальный токоперенос лишь при малых z .

На рис. 4, 5 представлены результаты расчетов ПК с радиусом полости $R = 0.15$ см, температурой стенки катода $T_k = 0.2$ эВ и давлением водорода $p = 10$ Тор. Коэффициент поверхностной рекомбинации γ и плотность тока эмиссии j_S рассматриваются как внешние параметры и варьируются в диапазонах $j_S = 10$ – 30 A/cm^2 , $\gamma = 0$ – 1 .

Результаты, представленные на рис. 4 (кривые а), показывают, что изменения j_S и γ практически не сказываются на распределении потенциала плазмы

$\varphi(z)$. Можно видеть, что градиент потенциала почти постоянен вдоль оси ПК, т. е. увеличение тока к выходу ПК определяется только ростом электронной температуры и соответствующим увеличением электропроводности. Отметим, что радиальное падение потенциала в основном сосредоточено в приэлектродном слое пространственного заряда, перепад потенциала в квазинейтральном слое ионизации составляет 4–5 В.

На рис. 4 представлены также распределения электронной температуры вдоль оси ПК для различных значений внешних параметров (кривые 6). Видно, что уменьшение j_s в 3 раза приводит к более медленному нарастанию T_e при увеличении z . При больших z электронные температуры в режимах с разными j_s отличаются на 25–30 %. К небольшому падению T_e в области больших z приводят также переход от $\gamma=0$ к $\gamma=1$. Заметим, что использованную нами константу скорости диссоциации молекул H_2 трудно сопоставить с определенной энергией диссоциации, можно лишь утверждать, что она примерно лежит в диапазоне от 4.48 до 8.8 эВ. Поэтому проводились расчеты с обоими указанными значениями. Результаты, как можно видеть, отличаются довольно мало.

Указанные эффекты уменьшения T_e приводят к уменьшению ионного тока, а следовательно, и полного тока, снимаемого с ПК, т. е. к уменьшению наклона вольт-амперных характеристик (ВАХ) ПК, что иллюстрирует рис. 5.

Значительная часть энергии, вкладываемой в разряд, расходуется на разогрев поверхности катода. В потоке энергии из плазмы на катод при малых T_e преобладает поток теплопроводности тяжелой компоненты, а при больших T_e — поток энергии ионов, ускоренных на прикатодном падении. Оценки показывают, что мощность, подводимая к катоду, не может быть отведена ни теплопроводностью по телу катода, ни излучением. Таким образом, катод должен работать либо в импульсном режиме с большой скважностью, либо с принудительным охлаждением.

Заметим, что подавляющая часть полной энергии, подводимой к ПК, вкладывается в плазму рабочей области. Так, например, в режиме с $U=41$ В и полным снимаемым с ПК током $I=196$ А лишь около 5 % UI вкладывается в начальную область разряда (т. е. в область $z < 0$).

Экспериментальные данные о параметрах плазмы внутри ПК с водородом в литературе практически отсутствуют. Исключением является работа [21], в которой представлены результаты зондовых измерений в ПК из гексаборида лантана. Отметим, что по данным [21] электронная температура почти постоянна по радиусу полости (эти данные получены при $T_e=1.2$ –1.3 эВ), что соответствует предположениям настоящей работы. Заметим также, что в режимах, исследованных в [21], ионный ток на стенку катода превышал ток эмиссии (как и в настоящей работе). Однако конструкция катода и параметры разряда в [21] ($R=1$ см, $p=1$ –3 Тор, относительно малые осевые токи и приложенные напряжения) существенно отличаются от рассматриваемых в настоящей работе, так что отсутствует возможность детального сопоставления результатов.

В источниках быстрых частиц ПК обычно работают в условиях прокачки водорода через полость. О роли прокачки можно судить по сопоставлению результатов расчетов ПК с расходом рабочего тела [22] и без расхода [4] для случая полностью ионизованной цезиевой плазмы. Заметим, что для ПК с расходом давления в разрядной камере может быть значительно меньше, чем в катодной полости.

Авторы благодарны Г. А. Дюжеву, Л. И. Елизарову, В. Г. Иванову, С. М. Школьнику и В. Г. Юрьеву за обсуждение результатов работы.

П р п л о ж е н и е

Опишем выбор начальных значений тока I_0 и потенциала $\varphi(0)$. Ниже используется обозначение $T'_e(z) \equiv (dT_e)/(dz)$.

Типичные распределения $T'_e(z)$, соответствующие разным значениям I_0 , представлены на рис. 6. Можно видеть, что существует такое значение I_0 ,

которому соответствует «гладкое» распределение $T_e(z)$ (на котором $T'_e(z)$ мало отличается от среднего значения $\langle T'_e \rangle$ на промежутке от $z=0$ до $z \approx R$). Малые изменения I_0 приводят к существенному изменению $T_e(z)$: появляются распределения с большими значениями $|T'_e(0)|$. В расчете выбирается такое значение I_0 , которому соответствует «гладкое» распределение $T_e(z)$. Существенно, что такой подход позволяет задавать I_0 с высокой точностью.

Попутно отметим, что величину I_0 можно однозначно определить, понизив порядок исходной системы дифференциальных уравнений (4)–(7) путем отбрасывания членов, содержащих $(dT_e)/(dz)$. Эти члены вносят малый вклад как в обобщенный закон Ома (4), так и в уравнения энергии (6), (7). Последнее связано с тем, что в плазме ПК разогрев электронов полем в первом приближении

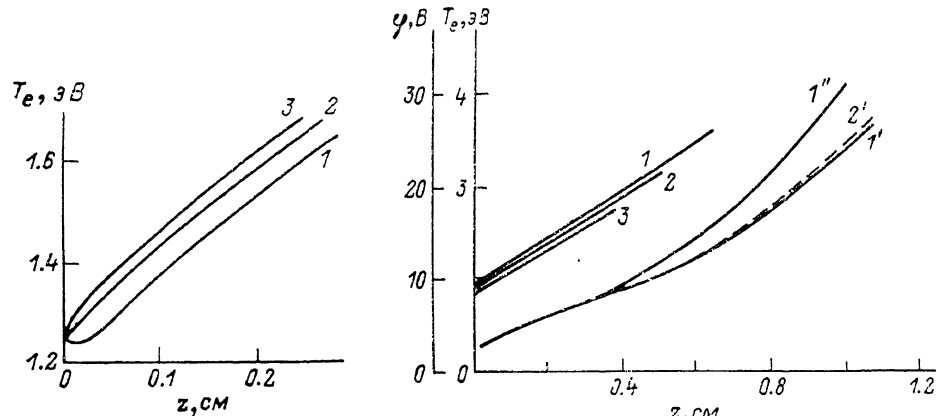


Рис. 6. Распределение электронной температуры T_e вдоль оси ПК для различных значений начального тока I_0 .

$$j_S = 30 \text{ A/cm}^2, \varphi(0) = 8.5 \text{ eV}; I_0 = 41.0 \text{ (1)}, 43.8 \text{ (2)}, 45.2 \text{ A (3)}.$$

Рис. 7. Влияние начальных условий на распределения потенциала ($1, 2, 3$) и электронной температуры ($1', 2'', 2'$) вдоль оси ПК.

$$1, 1', 1'' — \varphi_0 = 9.5; 2, 2' — 8.5; 3 — 7.5 \text{ В}; 1'' — \text{решение «усеченной» системы.}$$

жении локально уравновешивается потерями энергии. После понижения порядка значение I_0 уже не задается, а определяется из самих уравнений. Результат решения такой «усеченной» системы уравнений приведен на рис. 7 (кривая $1''$) и мало отличается от соответствующего решения полной системы (кривая $1'$).

Остановимся на определении $\varphi(0)$. Оценки показывают, что в рассматриваемых условиях $\varphi(0) \leq 10$ В (в рассмотренных выше примерах полагалось $\varphi(0) = 8.5$ В). Отметим, что область $z \leq 0$ соответствует низковольтному дуговому разряду уже в основном в слабоионизованной плазме. В таких разрядах обычно $j_{ek} \sim j_S$. Поскольку изменение $\varphi(0)$ наиболее сильно влияет именно на величину $j_{ek}(0)$, то проворьируем $\varphi(0)$ так, чтобы величина $j_{ek}(0)$ менялась в разумных пределах. На рис. 7 приведены результаты расчетов с тремя значениями $\varphi(0)$ в диапазоне 7.5–9.5 В. При этом $j_{ek}(0)$ практически перекрывает диапазон от 0 до j_S . Видно, что эти изменения практически не сказываются на ВАХ ПК и осевых распределениях параметров плазмы.

Список литературы

- [1] Luce J. S. // Proc. 2nd Intern. Conf. of Peaceful Uses of Atomic Energy. Geneva, 1958. P. 31.
- [2] Москалев Б. И. Разряд с полым катодом. М.: Энергия, 1969. 183 с.
- [3] Семашко Н. Н., Владимиров А. Н., Кузнецов В. В. и др. Ионизаторы быстрых атомов водорода. М.: Энергоатомиздат, 1981. 168 с.
- [4] Бакшт Ф. Г., Рыбаков А. Б. // ЖТФ. 1978. Т. 48. Вып. 2. С. 234–244.
- [5] Бакшт Ф. Г., Дюзев Г. А., Рыбаков А. Б., Юрьев В. Г. // ЖТФ. 1986. Т. 56. Вып. 1. С. 61–65.
- [6] Бакшт Ф. Г., Юрьев В. Г. // ЖТФ. 1979. Т. 49. Вып. 5. С. 905–944.
- [7] Бакшт Ф. Г., Рыбаков А. Б. // ЖТФ. 1986. Т. 56. Вып. 2. С. 297–306.

- [8] Бакшт Ф. Г., Иванов В. Г., Рыбаков А. Б., Юрьев В. Г. Препринт ФТИ. № 946. Л., 1985. 57 с.
- [9] Лавренко В. А. Рекомбинация атомов водорода на поверхности твердых тел. Киев: Наукова думка, 1973. 202 с.
- [10] Бакшт Ф. Г. // ЖТФ. 1982. Т. 52. Вып. 1. С. 3—9.
- [11] Бакшт Ф. Г., Иванов В. Г. // ЖТФ. 1986. Т. 56. Вып. 8. С. 1562—1568.
- [12] Брагинский С. И. // Вопросы теории плазмы. М.: Госатомиздат, 1963. Вып. 1. С. 183—272.
- [13] Термоэмиссионные преобразователи и низкотемпературная плазма / Под ред. Е. Я. Мойжеса, Г. Е. Пикуса. М.: Наука, 1973. 480 с.
- [14] Храпак А. Г., Якубов И. Т. Электроны в плотных газах и плазме. М.: Наука, 1981. 282 с.
- [15] Смирнов Б. М., Елецкий А. В., Палкина Л. А. Явления переноса в слабоионизованной плазме. М.: Атомиздат, 1975.
- [16] Clifton D. C. // J. Chem. Phys. 1961. Vol. 35. N 4. P. 1417—1420.
- [17] Ферцигер Дж., Канер Г. Математическая теория процессов переноса в газах. М.: Мир, 1976. 554 с.
- [18] Johnson L. C., Hinnon E. // JQSRT. 1973. Vol. 13. P. 333—343.
- [19] Алексеев Н. И., Бакшт Ф. Г., Иванов В. Г. // ЖТФ. 1988. Т. 58. Вып. 4. С. 669—675.
- [20] Собельман И. И. Введение в теорию атомных спектров. М.: Физматгиз, 1963. 640 с.
- [21] Suzuki S., Asano T., Morimura O. // Jap. J. Appl. Phys. 1987. Vol. 26. N 6. P. 919—923.
- [22] Бакшт Ф. Г., Рыбаков А. Б. // ЖТФ. 1978. Т. 48. Вып. 4. С. 700—706.

Физико-технический институт
им. А. Ф. Иоффе АН СССР
Ленинград

Поступило в Редакцию
11 октября 1988 г.